

1. Поле источника \mathbf{u}_0

1.1. Фурье-символы

1. Граничные условия

$$\mu (U' - i\alpha W) = Q_1$$

$$\lambda (-i\alpha U + W') + 2\mu W' = Q_2$$

в случае $Q = (0; 1)$ (см. рис. 1 и рис. 2 соотв.)

$$U' = i\alpha W$$

$$(\lambda + 2\mu) W' = 1 + i\alpha \lambda U$$

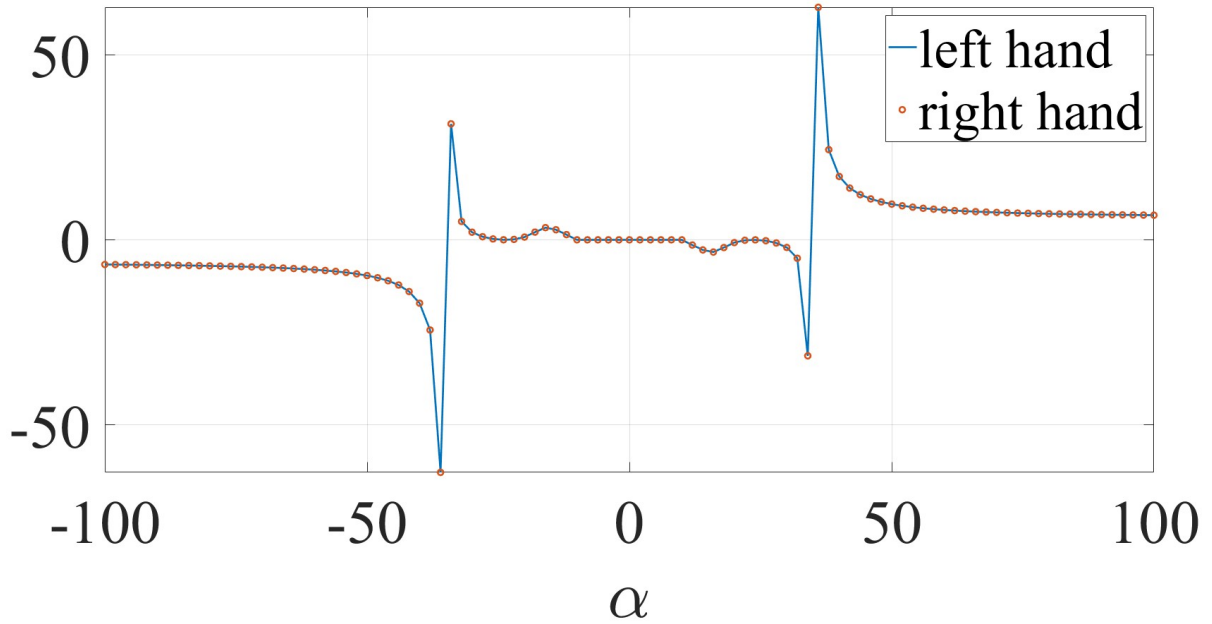


Рис. 1. Первое граничное условие для \mathbf{u}_0

2. Уравнения Ляме

$$(\lambda + \mu) (-\alpha^2 U - i\alpha W') + \mu (-\alpha^2 U + U'') + \rho\omega^2 U = 0$$

$$(\mu + \lambda) (-i\alpha U' + W'') + \mu (-\alpha^2 W + W'') + \rho\omega^2 W = 0$$

приведем к наглядному виду

$$(\rho\omega^2 - \alpha^2 (\lambda + 2\mu)) U = i\alpha (\lambda + \mu) W' - \mu U''$$

$$(\rho\omega^2 - \alpha^2 \mu) W = i\alpha (\mu + \lambda) U' - (2\mu + \lambda) W''$$

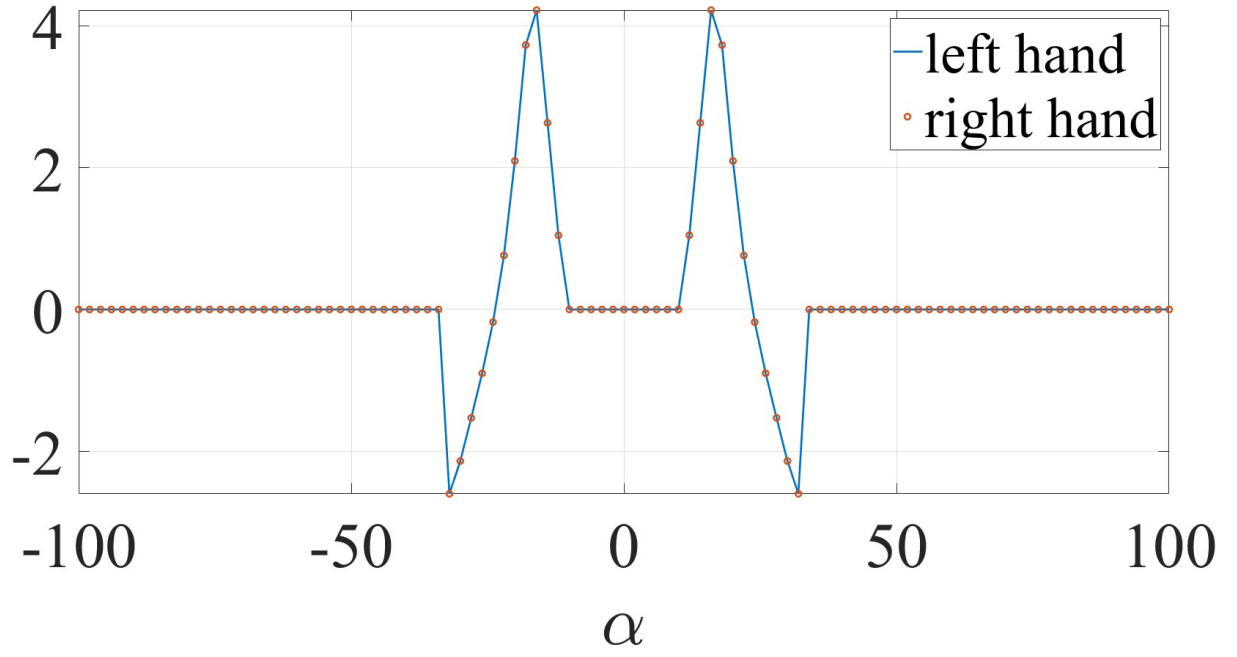


Рис. 2. Второе граничное условие для \mathbf{u}_0

поскольку $\kappa_2^2 = \frac{\rho\omega^2}{\mu} \Rightarrow \rho\omega^2 = \kappa_2^2\mu$

$$(\kappa_2^2\mu - \alpha^2(\lambda + 2\mu))U = i\alpha(\lambda + \mu)W' - \mu U''$$

$$(\kappa_2^2\mu - \alpha^2\mu)W = i\alpha(\mu + \lambda)U' - (2\mu + \lambda)W''$$

(см. рис. 3 и рис. 4 соотв.)

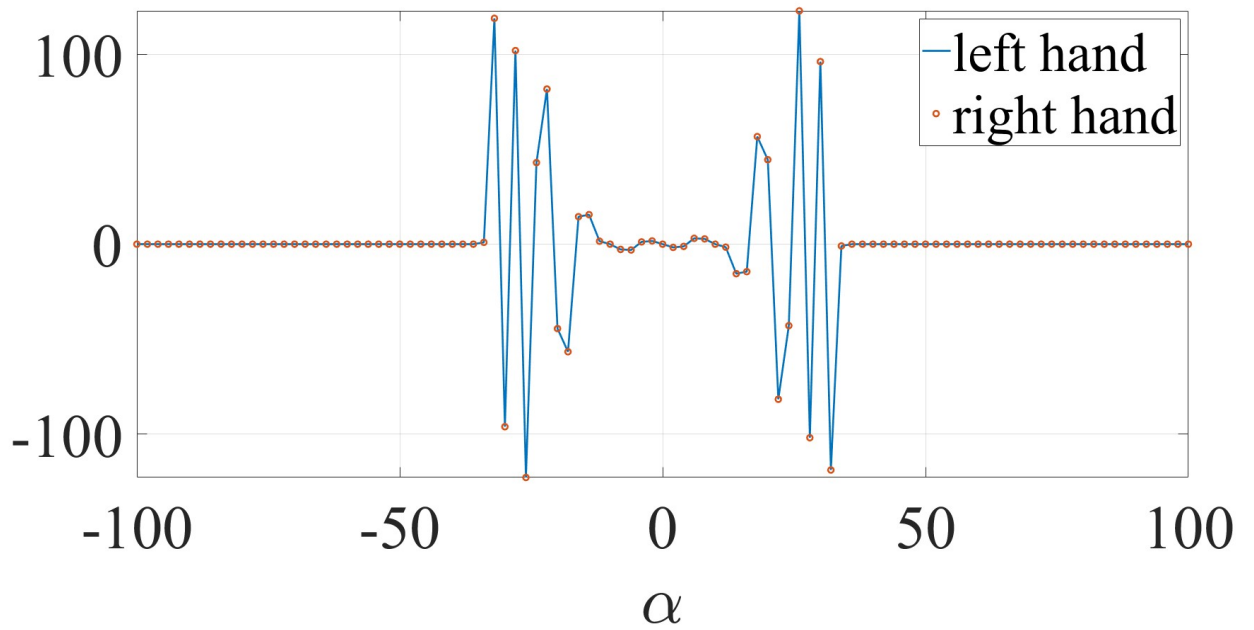


Рис. 3. Первое уравнение Ляме для \mathbf{u}_0 при $z = 0, 3$

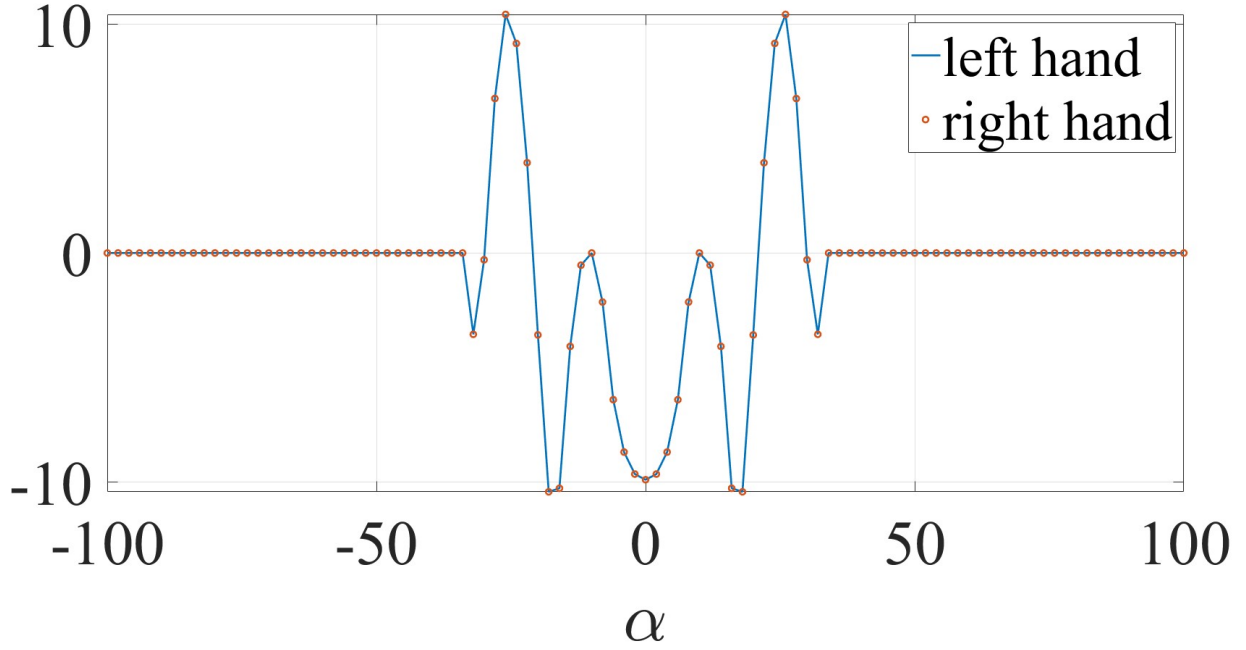


Рис. 4. Второе уравнение Ляме для \mathbf{u}_0 при $z = 0, 3$

1.2. Интеграл

Планируется после успешной проверки Фурье-символов. Если последнюю проверку пройдут, а \mathbf{u}_0 – нет, будет очевидно, что причина в интегрировании.

2. Поля \mathbf{u}^- , \mathbf{u}^+

2.1. Фурье-символы

1. Граничные условия $[\mathbf{U}]|_{z=-h} = 0$ (см. рис. 5 и рис. 6 соотв.)

$$U_0 + U_- = U_+$$

$$W_0 + W_- = W_+$$

2. Граничные условия $[\mathbf{T}]|_{z=-h} = 0$

$$T_x = \mu(U' - i\alpha W)$$

$$S_z = (\lambda + 2\mu) W' - i\alpha\lambda U$$

$$(U'_0 + U'_-) U' - i\alpha (W_0 + W_-) = U'_+ - i\alpha W_+$$

$$(\lambda + 2\mu) (W'_0 + W'_-) - i\alpha\lambda (U_0 + U_-) = (\lambda + 2\mu) W'_+ - i\alpha\lambda U_+$$

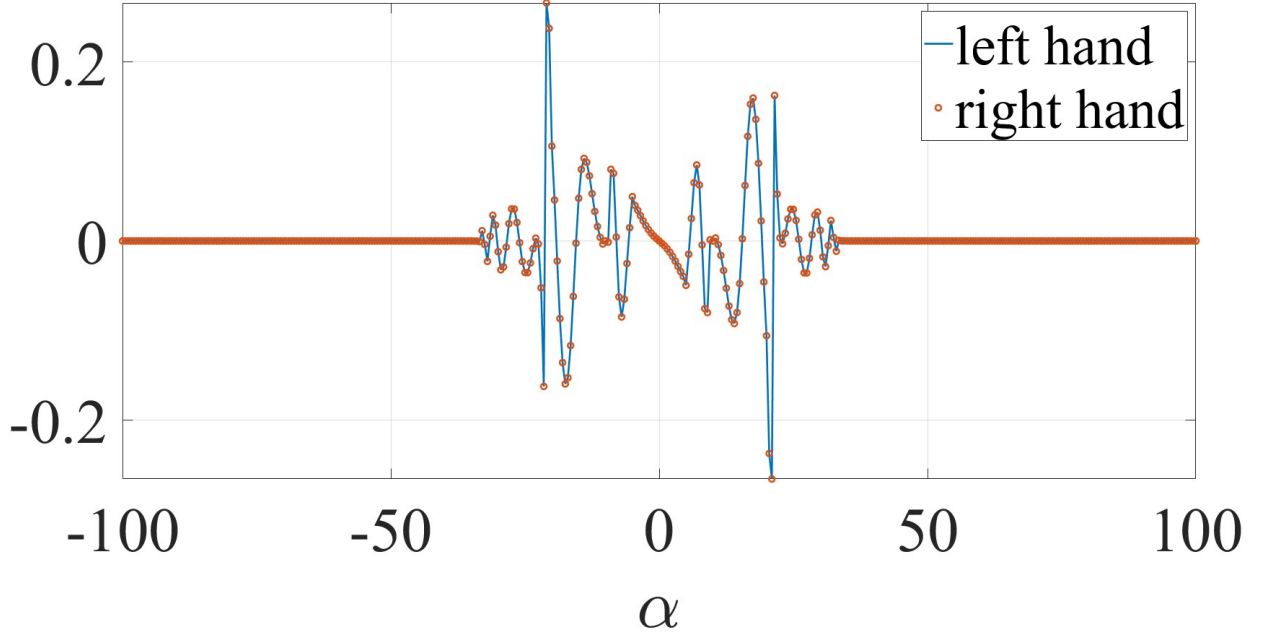


Рис. 5. Первое граничное условие для U_{sc} при $z = -h$

3. Уравнения Ляме

$$(\rho\omega^2 - \alpha^2(\lambda + 2\mu)) U = i\alpha(\lambda + \mu) W' - \mu U''$$

$$(\rho\omega^2 - \alpha^2\mu) W = i\alpha(\mu + \lambda) U' - (2\mu + \lambda) W''$$

Найдем производные

$$\mathbf{U}'_- = \begin{cases} U_- = -\sigma_1 t_1 (-i\alpha) e^{-\sigma_1(z+h)} - t_2 \sigma_2^2 e^{-\sigma_2(z+h)} \\ W_- = t_1 \sigma_1^2 e^{-\sigma_1(z+h)} + t_2 i\alpha \sigma_2 e^{-\sigma_2(z+h)}, \end{cases}$$

$$\mathbf{U}''_- = \begin{cases} U_- = t_1 (-i\alpha) \sigma_1^2 e^{-\sigma_1(z+h)} + t_2 \sigma_2^3 e^{-\sigma_2(z+h)} \\ W_- = t_1 (-\sigma_1^3) e^{-\sigma_1(z+h)} + t_2 (-i\alpha) \sigma_2^2 e^{-\sigma_2(z+h)}, \end{cases}$$

2.2. Интегралы

Планируется после успешной проверки Фурье-символов. Если последнюю проверку пройдут, а \mathbf{u}_+ – нет, будет очевидно, что причина в интегрировании.

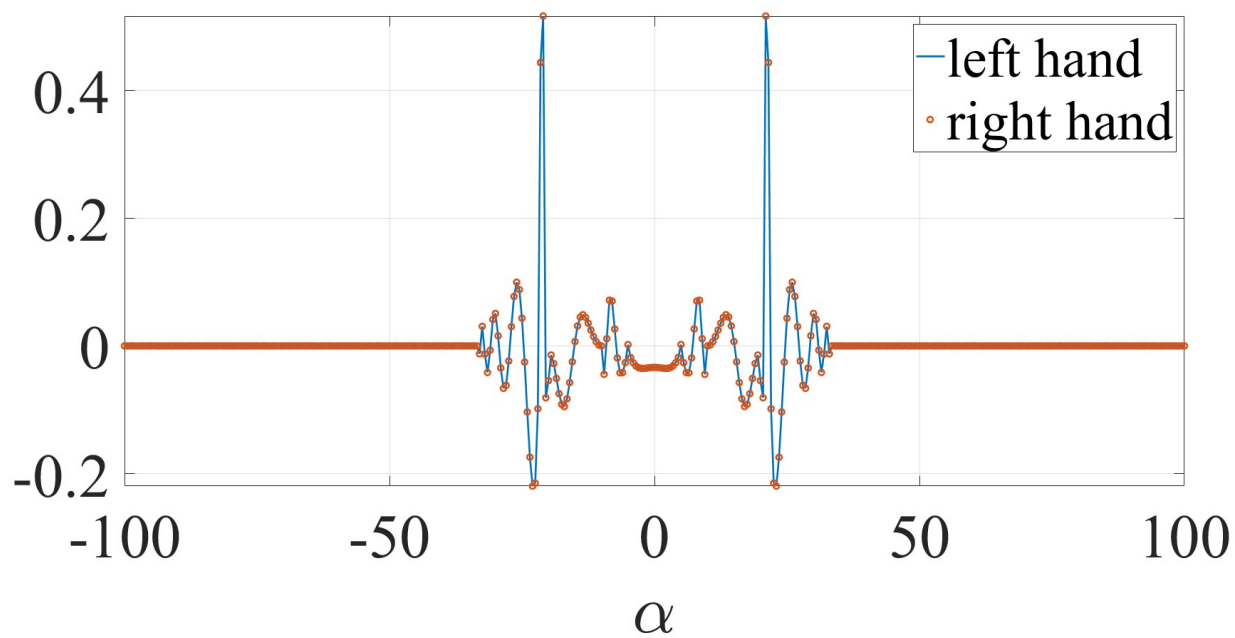


Рис. 6. Первое граничное условие для W_{sc} при $z = -h$